

Desenvolver um modelo gerador de séries temporais multivariadas para um compressor industrial offshore baseado em RNN e VAEs.

Rodrigo Petrus Domingues

CPE727 – Deep Learning

8 de dezembro de 2025

Sumário

- 1 Motivação e Objetivos
- 2 Base de dados e pré-processamento
- 3 Formulação do Problema
- 4 Arquiteturas e Variações
- 5 Configuração Experimental
- 6 Resultados
- 7 Discussão e Conclusões

Motivação e Objetivos do trabalho

Motivação:

- Compressores industriais são ativos críticos (segurança, disponibilidade, custo).
- As séries temporais multivariadas de sensores refletem o estado operacional.
- Modelos gerativos podem simular cenários operacionais variados.
- Gêmeos digitais e simulações realistas auxiliam na manutenção preditiva

Objetivos do trabalho:

- Desenvolver **modelos geradores** de séries temporais multivariadas para um compressor industrial offshore.
- Aprender, de forma não supervisionada, a distribuição dos sinais de processo em janelas temporais.
- Gerar novas trajetórias plausíveis para:
 - simulação de cenários,
 - testes de algoritmos de monitoramento,
 - análise de variabilidade operacional.

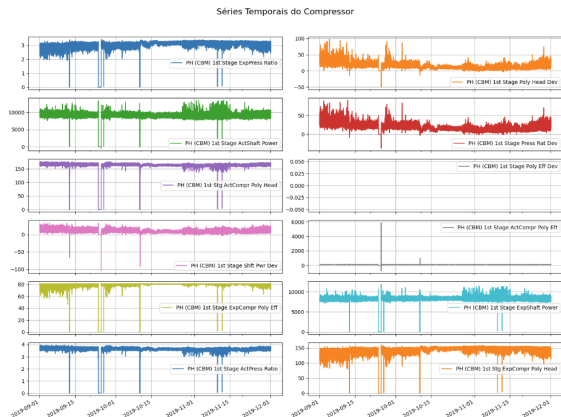
Comparar arquiteturas:

- Modelos DEEP, LSTM, GRU, BiLSTM e BiGRU com GRU fuser, todos com otimização Adam;
- Variações de treinamento (warmup, scheduler, RAdam, AdamW, variational dropout, difusão e layernorm).

Base de dados e pré-processamento

Base de dados

Cognite — sinais reais de sensores de um compressor industrial offshore.



Pré-processamento

- Estados operacionais:
 - Estados originais: 6 (0 a 5);
 - Estados finais: 3 (normal, alerta, falha).
- Normalização robusta (RobustScaler) por sensor;
- Série temporal com amostras a cada 5 minutos.
- Segmentação em janelas:
 - `window_size = 10, window_step = 10`
 - janelas não sobrepostas (modo gerador local).

Definição do problema (modo gerador)

- Série multivariada: $x_t \in \mathbb{R}^d$, $t = 1, \dots, T$, com $d = 11$ sensores.
- Construímos janelas temporais:

$$X = (x_{t-L+1}, \dots, x_t) \in \mathbb{R}^{L \times d}$$

com $L = 10$ passos de tempo.

- Objetivo: aprender um **modelo gerador** para as janelas X :

$$p_\theta(X) \approx p_{\text{dados}}(X)$$

- Modelo latente (VAE + difusão):
 - Encoder mapeia X para um código latente z ;
 - Decoder reconstrói \hat{X} a partir de z ;
 - O espaço latente é regularizado para permitir **amostrar novos** z e gerar janelas sintéticas.
- Uso principal:
 - Geração de séries realistas para simulação de cenários e testes de algoritmos de monitoramento.

O modelo aprende a **recriar** e **amostrar** janelas de sensores compatíveis com o comportamento real do compressor.

Função de custo (modo gerador)

- O modelo admite uma função de custo multi-termo:

$$\mathcal{L} = \lambda_m \mathcal{L}_{\text{miss}} + \lambda_v \mathcal{L}_{\text{vae}}$$

- O treinamento é **não supervisionado**, visando aprender:

$$p_{\theta}(X) \approx p_{\text{dados}}(X)$$

$$\mathcal{L}_{\text{miss}} = \text{BCE}(m, \hat{m}) \quad \text{com} \quad \hat{m} = \sigma(f_{\text{miss}}(h))$$

$$\mathcal{L}_{\text{vae}} = \underbrace{\mathbb{E}_{q(z|X)}[-\log p(X | z)]}_{\text{erro de reconstrução}} + \beta \underbrace{\text{KL}(q(z | X) \| \mathcal{N}(0, I))}_{\text{regularização do espaço latente}}$$

- BCE entre a máscara verdadeira de observação e a máscara prevista, forçando o estado latente a codificar o padrão temporal de missing.
- O termo de reconstrução garante fidelidade aos sinais reais.
- O termo KL força um espaço latente contínuo e amostrável.
- Isso permite gerar **novas janelas sintéticas** de sensores com propriedades estatísticas similares às observadas.

- **TSDF _ DEEP:**

- Modelo feedforward sobre janelas (baseline não-recorrente).

- **TSDF _ LSTM:**

- RNN LSTM unidirecional;
 - Versão BiLSTM.

- **TSDF _ GRU:**

- RNN GRU unidirecional;
 - Versão BiGRU.

Arquitetura baseline: TSDF_DEEP (feedforward)

- Entrada: janela temporal $X = (x_1, \dots, x_L)$, com $x_t \in \mathbb{R}^{11}$ e máscara $m_t \in \{0, 1\}^{11}$.
- Codificação inicial por MLP (por timestep):

$$e_t = \phi(W_e[x_t \| m_t] + b_e), \quad t = 1, \dots, L$$

onde $\phi(\cdot)$ é uma ativação não linear (ReLU/GELU).

- Incorporação explícita do tempo:

$$e'_t = \text{MLP}([e_t \| t_t])$$

com t_t o timestamp normalizado do instante t .

- Representação latente da janela:
 - Obtida independentemente por timestep (sem estados recorrentes);
 - Integra informação temporal apenas via timestamps explícitos.
- Cabeças de saída (modo gerador):

$$\hat{x}_t = f_\theta(e'_t) \quad (\text{reconstrução / geração})$$

- Treinamento:
 - Otimizador Adam;
 - Mesmas funções de perda usadas nos modelos recorrentes.

- Entrada: janela temporal $X = (x_1, \dots, x_L)$, $x_t \in \mathbb{R}^{11}$.
- Codificação temporal com LSTM unidirecional:

$$(h_t, c_t) = \text{LSTM}(x_t, h_{t-1}, c_{t-1}), \quad t = 1, \dots, L$$

- Representação latente da janela:

$$z = h_L \in \mathbb{R}^H$$

- z representa um código latente contínuo da dinâmica temporal.

- Decoder:

$$\hat{X} = p_\theta(X \mid z)$$

- Otimização:

- Otimizador Adam, minimizando perda conjunta (classificação de estado + regressão de tempo).

- Mesma entrada:

$$\mathbf{X} = (x_1, \dots, x_L), \quad x_t \in \mathbb{R}^{11}$$

- Codificação temporal recorrente:

$$\{h_t\}_{t=1}^L = \text{GRU}(\mathbf{X})$$

- Representação latente da janela:

$$z = h_L \in \mathbb{R}^H$$

- z representa um resumo contínuo da dinâmica temporal da janela.

- Reconstrução:

$$\hat{\mathbf{X}} = p_\theta(\mathbf{X} \mid z)$$

- Treinamento:

- Otimização por Adam, com os mesmos hiperparâmetros do baseline Deep.

Arquitetura 3: BiGRU + GRU fuser

- Codificação da janela com BiGRU:

$$h_t^{\rightarrow}, h_t^{\leftarrow} = \text{BiGRU}(x_t, h_{t-1}^{\rightarrow}, h_{t+1}^{\leftarrow})$$

$$z_k = [h_L^{\rightarrow} \parallel h_1^{\leftarrow}] \in \mathbb{R}^{2H}$$

onde z_k é o embedding da k -ésima janela.

- Fusão temporal entre janelas com GRU fuser:

$$m_k = \text{GRU}_{\text{fuser}}(z_k, m_{k-1}), \quad k = 1, \dots, K$$

- Fuser captura dependências de longo alcance entre janelas, produzindo um latente m_K adequado à geração.
- Cabeças de saída a partir de m_K :

$$\hat{X} \sim p_{\theta}(X \mid m_K)$$

- Otimização:

- Adam sobre todos os parâmetros (BiGRU + GRU fuser + cabeças).

Arquitetura 4: BiLSTM + GRU fuser

- Codificação da janela com BiLSTM:

$$(\vec{h_t}, \vec{c_t}), (\vec{h_t}, \vec{c_t}) = \text{BiLSTM}(x_t, \dots)$$

$$z_k = [\vec{h_L} \parallel \vec{h_1}] \in \mathbb{R}^{2H}$$

- Fusão temporal entre janelas com GRU fuser:

$$m_k = \text{GRU}_{\text{fuser}}(z_k, m_{k-1}), \quad k = 1, \dots, K$$

- Fuser captura dependências de longo alcance entre janelas, produzindo um latente m_K adequado à geração.

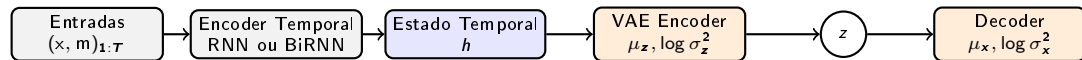
- Cabeças de saída:

$$\hat{X} \sim p_\theta(X \mid m_K)$$

- Otimização:

- Treino conjunto com Adam, mesma função de perda multi-tarefa.

Pipeline principal: Encoder Temporal + VAE Latente



- Arquitetura base é composta de um encoder temporal uni ou bidirecional seguido de um espaço latente variacional, responsável por capturar incerteza e permitir geração probabilística das séries.

- **BiLSTM + Warmup & Scheduler**

- Aumenta gradualmente a taxa de aprendizado no início do treino, evitando instabilidades e melhorando a convergência inicial.

- **BiLSTM + RAdam**

- Reduz a variância adaptativa do Adam nos primeiros passos, tornando o treinamento mais estável.

- **BiLSTM + Variational Dropout**

- Regularização explícita no tempo, reduzindo overfitting sem quebrar dependências temporais.
- Variational_dropout utilizado: 0.2

- **BiLSTM + Difusão (missingness)**

- Regularização implícita via objetivos probabilísticos, forçando robustez a dados ausentes.
- $\mathcal{L} = \lambda_m \mathcal{L}_{\text{miss}} + \lambda_v \mathcal{L}_{\text{vae}}$

- **BiLSTM + LayerNorm**

- Estabiliza as ativações internas, com efeito regularizante indireto.

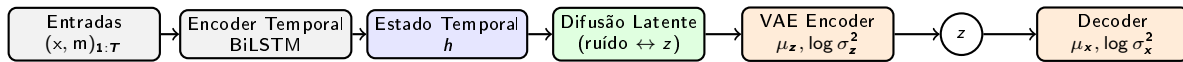
- **BiLSTM + AdamW (L2/Weight Decay)**

- Regularização explícita dos pesos, melhorando generalização.
- L2/weight_decay utilizado: 1e-4

Configuração Experimental

- Divisão treino/teste: 80% / 20%.
- A quantidade de neurônios já foi validada anteriormente em outra disciplina
- Treinamento por 500 épocas, batch size 256.
- Paciência de 50 épocas para early stopping.
- Função de perda multi-tarefa conforme descrito.
- Otimização e Regularização tratadas como diferentes modelos.
- Otimizador: Adam (exceto variações).
- Taxa de aprendizado inicial: 3×10^{-4} .
- Early stopping baseado no NELBO do teste.
- Avaliação final no conjunto de teste.

Arquitetura vencedora — BiLSTM + Difusão Latente (Geração)



- No modo gerador, a difusão modela a incerteza no espaço latente, aumentando robustez, diversidade e estabilidade estatística das séries reconstruídas.

- **NELBO** (Negative Evidence Lower Bound):

- Loss probabilística minimizada no treinamento;
- Maximiza implicitamente a verossimilhança (ELBO);
- Balanceia reconstrução e regularização latente (KL).
- $NELBO = \mathbb{E}_{q(z|x)}[-\log p(x | z)] + KL(q(z | x) \| p(z))$

- **NLL** (Negative Log-Likelihood):

- Generaliza o MSE ao modelar explicitamente a variância da distribuição predita;
- Penaliza erros grandes e variâncias mal calibradas (super ou subestimação de incerteza).

$$\text{NLL} = -\log p(x | \mu, \sigma^2) = \frac{(x - \mu)^2}{2\sigma^2} + \frac{1}{2} \log \sigma^2 + \text{cte}$$

Figuras de Mérito utilizadas

- **MSE** (Mean Squared Error):

- Erro médio de reconstrução das séries;
- Mede fidelidade gerativa.

- **Cobertura 90%** (cov_90):

- Mede a fração de amostras reais que caem dentro do intervalo preditivo teórico [5%, 95%];
- Avalia se o desvio padrão estimado produz uma **calibração probabilística consistente** com a cobertura nominal de 90%.

- **Largura do intervalo 90%** (width_90):

- Corresponde à largura teórica do intervalo [5%, 95%] derivado da distribuição predita;
- Quantifica a **sharpness** do modelo: intervalos menores indicam maior confiança, desde que a cobertura permaneça bem calibrada.

Resultados quantitativos

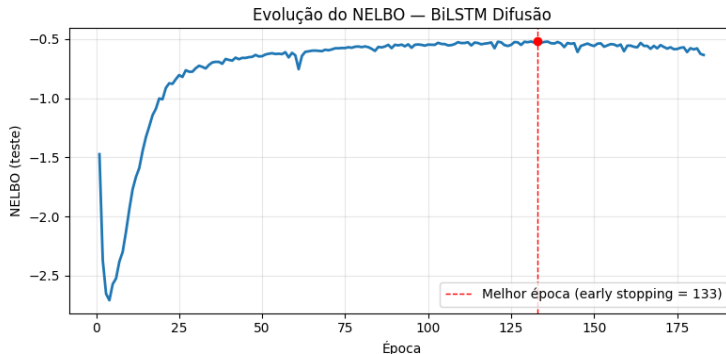
Modelo	NELBO ↓	NLL ↓	MSE ↓	Cov90 → 0.90	Width90 ↓
BiLSTM Difusão	0.518	0.462	0.243 ± 0.067	0.902	2.200
GRU	0.558	0.498	0.300 ± 0.108	0.905	2.252
LSTM	0.588	0.513	0.332 ± 0.129	0.900	2.251
BiGRU	0.589	0.499	0.335 ± 0.136	0.909	2.267
BiLSTM VarDrop 0.2	0.595	0.506	0.317 ± 0.119	0.898	2.240
BiLSTM RAdam	0.597	0.511	0.341 ± 0.139	0.898	2.234
BiLSTM Warmup/Sched.	0.598	0.504	0.354 ± 0.146	0.903	2.251
BiLSTM AdamW	0.601	0.506	0.341 ± 0.141	0.900	2.224
BiLSTM	0.609	0.527	0.337 ± 0.133	0.901	2.269
BiLSTM LayerNorm	0.617	0.514	0.342 ± 0.140	0.907	2.281
DEEP	1.217	1.164	0.693 ± 0.209	0.916	2.785

Tabela: Comparação probabilística entre modelos. O critério principal de seleção é a minimização do NELBO. A métrica Cov90 avalia calibração probabilística, cujo valor ideal é próximo de 0.90. A métrica Width90 mede a precisão dos intervalos de previsão e é comparada apenas entre modelos com cobertura adequadamente calibrada.

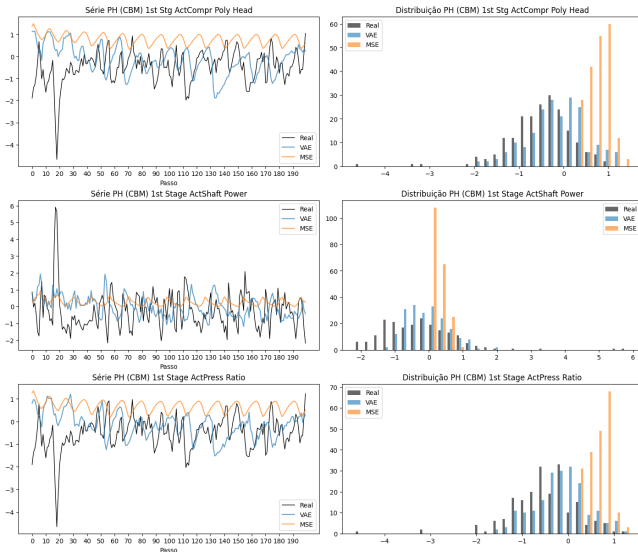
Curva de treinamento — Modelo campeão

Evolução do NELBO ao longo das épocas para o modelo **BiLSTM Difusão**.

- Fase inicial instável, com forte variação do NELBO nas primeiras épocas;
- Convergência progressiva para um patamar de NELBO mais estável após dezenas de épocas;
- A melhor época (133) é definida por *early stopping*, privilegiando estabilidade e capacidade de generalização, e não o mínimo pontual da curva.



Geração de séries — Avaliação qualitativa



Comparação qualitativa

Séries temporais reais versus séries geradas pelo modelo variacional, comparadas a ajustes ponto-a-ponto baseados em MSE.

A abordagem probabilística captura melhor:

- a distribuição marginal dos sinais;
- a variabilidade temporal;
- a incerteza intrínseca dos dados.

Discussão dos resultados (modo gerador)

- **Qualidade gerativa:**

- Modelos variacionais recorrentes superam o baseline feedforward;
- **BiLSTM Difusão** apresenta o menor NELBO;
- Redução consistente de NLL e MSE frente a LSTM/GRU unidirecionais.

- **Calibração vs. sharpness:**

- Difusão gera intervalos mais estreitos (menor *width_90*);
- Cobertura próxima ao alvo de 90%;
- Trade-off equilibrado entre precisão e incerteza.

- **Impacto arquitetural:**

- Bidirecionalidade melhora as representações latentes;
- *GRU fuser* aumenta coerência entre janelas;
- Maior profundidade temporal favorece geração estável.

- **Treinamento e regularização:**

- Difusão atua como principal regularizador probabilístico;
- Dropout e LayerNorm trazem ganhos secundários;
- Otimizadores afetam marginalmente o desempenho.

Conclusões (modo gerador)

- O framework **TSDF** é eficaz como modelo gerador probabilístico para séries temporais industriais.
- Modelos recorrentes superam o baseline feedforward:
 - Arquiteturas bidirecionais aprendem latentes mais ricos;
 - Fusão temporal melhora coerência de longo prazo.
- **Difusão é decisiva:**
 - **BiLSTM Difusão** é o modelo campeão;
 - Menor NELBO, NLL e MSE, com calibração adequada.
- O modelo permite:
 - Geração de séries realistas e calibradas;
 - Simulação de cenários raros ou críticos.
- Aplicações futuras:
 - Gêmeos digitais industriais;
 - Data augmentation orientada por incerteza.

Referências

- Kingma, D. P.; Welling, M. *Auto-Encoding Variational Bayes*. ICLR, 2014.
- Hochreiter, S.; Schmidhuber, J. *Long Short-Term Memory*. Neural Computation, 1997.
- Cho et al. *Learning Phrase Representations using RNN Encoder–Decoder*. EMNLP, 2014.
- Ho, J.; Jain, A.; Abbeel, P. *Denoising Diffusion Probabilistic Models*. NeurIPS, 2020.
- Che et al. *Recurrent Neural Networks for Multivariate Time Series with Missing Values*. Sci Rep, 2018.